

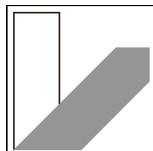
SS2021

PPBphys1

Protokoll KRE

Charlotte Geiger - Manuel Lippert - Leonard Schatt

Gruppe 4



Informationen

Versuchstag	22. März 2021
Versuchsplatz	NWII 2.3.02.704
Betreuer	Michael Beckstein
Gruppen Nr.	4
Auswertperson	Manuel Lippert
Messperson	Leonard Schatt
Protokollperson	Charlotte Geiger

Inhaltsverzeichnis

1	Einleitung	5
2	Fragen zur Vorbereitung	6
2.1	Trägheitsmoment I eines Körpers	6
2.2	Trägheitstensor \mathbf{J}	6
2.3	Trägheitstensor \mathbf{J}_{Rad} eines nicht ausgewuchten Rades	6
2.4	Lage der Achsen bei Nutation eines momentfreien Kreisels	6
2.5	Präzessionsfrequenz eines Kreisels	6
2.6	Kreiselkompass	6
2.7	Senkrechte Ausrichtung eines in der Luft rotierenden Bierfilz	6
3	Messprotokoll	7
4	Auswertung und Diskussion	8
4.1	Teilauswertung X	8
5	Fazit	9
A	Append A	10
A.1	Teilanhang X	10
	Literaturverzeichnis	11

1 Einleitung

Ein Kreisel ist ein starrer Körper welcher um eine beliebige kräfte- und momentfreie Achse rotiert mit fester Lage im Raum. Dies wird mit einer Unterstützung der Achse in zwei Punkten durch Lager, welche i. Allg. durch Kräfte beansprucht werden, verwirklicht. Kreisel werden häufig in der Technik und im Alltag bei rotierenden Bauteilen in Maschinen verwendet, wobei die Form der Kreisel dabei beliebig sein kann, es aber von Vorteil ist, wenn dieser die Form eines rotationssymmetrischen Körpers annimmt.

In diesem Versuch wird qualitativ das Verhalten eines luftgelagerten, symmetrischen Kreisel (ohne wesentliche Reibung) bei verschiedene Kreiselbewegungen sowie die Reaktion auf äußere Kräfte untersucht. Dabei werden besonders die Figurenachse, Drehimpulsachse und momentane Drehachse eine wichtige Rolle bei der Beobachtung spielen. Des Weiteren wird quantitative die Nutation und Präzession des Kreisels betrachtet.

2 Fragen zur Vorbereitung

2.1 Trägheitsmoment I eines Körpers

Das Trägheitsmoment I eines Körpers wird im Kontinuum anschaulich durch die Gleichung

$$I = \int_V \mathbf{r}_\perp^2 \rho(\mathbf{r}) dV \quad (2.1)$$

dargestellt und gibt die Trägheit eines starren Körpers gegenüber einer Winkelgeschwindigkeitsänderung bei einer Drehung um eine vorrausgesetzte Achse. Dabei ist \mathbf{r}_\perp der Abstand, welcher senkrecht auf ω steht und $\rho(\mathbf{r})$ die Dichte des Körpers in Abhängigkeit zum Abstand \mathbf{r} .

Für einen starren Körper aus N Massepunkten hat die Gleichung (2.1) die Form

$$I = \sum_{i=1}^N m_i r_{i,\perp}^2 \quad (2.2)$$

2.2 Trägheitstensor J

2.3 Trägheitstensor J_{Rad} eines nicht ausgewuchten Rades

2.4 Lage der Achsen bei Nutation eines momentfreien Kreisels

2.5 Präzessionsfrequenz eines Kreisels

2.6 Kreiselkompass

2.7 Senkrechte Ausrichtung eines in der Luft rotierenden Bierfilz

3 Messprotokoll

Das Messprotokoll wurde am Versuchstag handschriftlich erstellt und hier als PDF-Datei eingefügt. Dabei wurden Durchführung und Aufbau schon vorher in dieses Dokument beschrieben, je nachdem.

4 Auswertung und Diskussion

4.1 Teilauswertung X

5 Fazit

A Append A

A.1 Teilanhang X

Literaturverzeichnis

- AGILENT 2006 *Benutzerhandbuch Agilent 34410A/11A, Multimeter mit 6¹/₂ Stellen*, 3. Auflage.
- AHLERS, G. & REHBERG, I. 1986 Convection in a binary mixture heated from below. *Phys. Rev. Lett.* 56 (13), 1373–1376.
- DIERKING, I. 2003 *Textures of Liquid Crystals*, chap. 5, pp. 54–74. Weinheim: Wiley-VCH Verlag.
- GOBRECHT, H. 1978 *Bergmann–Schäfer, Lehrbuch der Experimentalphysik, Band III Optik*, 7. Auflage, pp. 418–419. Berlin, New York: Walter de Gruyter.
- KHAZIMULLIN, M., MÜLLER, T., MESSLINGER, S., REHBERG, I., SCHÖPF, W., KREKHOV, A., PETTAU, R., KREGER, K. & SCHMIDT, H.-W. 2011 Gel formation in a mixture of a block copolymer and a nematic liquid crystal. *Phys. Rev. E* 84, 021710: 1–11.
- KHOO, I.-C. 2007 *Liquid Crystals*, 2nd edn. Hoboken, New Jersey: John Wiley & Sons.
- KOPKA, H. 2000 *L^AT_EX, Band 1 — Einführung*, 3. überarbeitete Auflage. München; Boston; San Francisco [u.a.]: Addison-Wesley Verlag.
- KRAMER, C. 2010 *Das magnetische Moment*. Bachelorarbeit, Universität Bayreuth.
- KRAMER, L. & PESCH, W. 1996 Electrohydrodynamic instabilities in nematic liquid crystals. In *Pattern Formation in Liquid Crystals* (eds. Á. Buka & L. Kramer), pp. 221–255. New York; Berlin; Heidelberg: Springer.
- LAFUENTE, Ö. 2005 *Thermoreversible Gele von isotropen und anisotropen Flüssigkeiten mit chiralen Organogelatoren*. Doktorarbeit, Universität Bayreuth.
- LAMPORT, L. 1995 *Das L^AT_EX-Handbuch*. Bonn; Paris; Reading, Mass. [u.a.]: Addison-Wesley Verlag.
- L^AT_EX 2011 Latex — A document preparation system. URL <http://www.latex-project.org/> – Zugriffsdatum: 10.05.2011.
- MADSEN, L. 2006 Avoid eqnarray. *The PracT_EX Journal* 1 (4).
- MEARS, W. H., ROSENTHAL, E. & SINKA, J. V. 1969 Physical properties and virial coefficients of sulfur hexafluoride. *J. Phys. Chem.* 73 (7), 2254–2261.

Literaturverzeichnis

- MiKTeX 2011 MiKTeX Project Page. URL <http://www.miktex.org/> – Zugriffsdatum: 11.11.2011.
- MÜLLER, T., PÖHLMANN, A. & MESSLINGER, S. 2011 Normalizing radial distribution functions on truncated regions. Internes Dokument, Experimentalphysik V, Universität Bayreuth.
- REHBERG, I. 2011 Persönliche Mitteilung.
- SCHÖPF, W. 1988 *Konvektion in binären Flüssigkeiten und multikritisches Verhalten in der Nähe des Kodimension-2-Punktes*. Diplomarbeit, Universität Bayreuth.
- STIEB, A., BAUR, G. & MEIER, G. 1975 Alignment inversion walls in nematic liquid crystal layers deformed by an electric field. *J. Phy. (Paris) Colloq.* 36 (C1), 185.
- TEXNICCENTER 2011 TeXnicCenter — the Center of your L^AT_EX Universe. URL <http://www.texniccenter.org/> – Zugriffsdatum: 15.11.2011.